

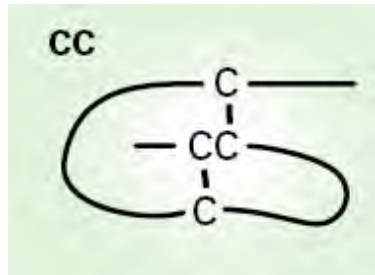
CCR5, nouvelle cible anti-VIH: *problématiques, données actuelles et perspectives*

Pierre DELOBEL

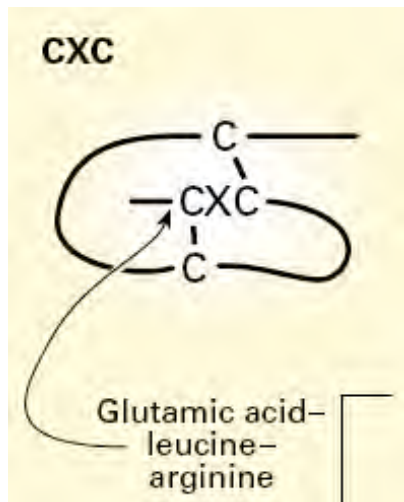
Service des Maladies Infectieuses et Tropicales et EA2046-IFR30, CHU de Toulouse
Unité de Régulation des Infections Rétrovirales, Institut Pasteur, Paris

CHEMOKINES — CHEMOTACTIC CYTOKINES THAT MEDIATE INFLAMMATION

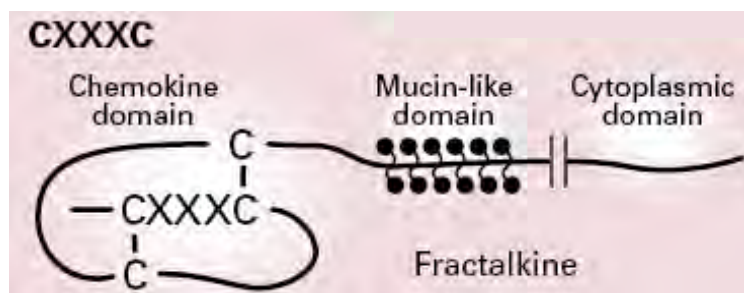
Chimiokines/Récepteurs



MIP-1 α , MIP-1 β , RANTES \Leftrightarrow CCR5



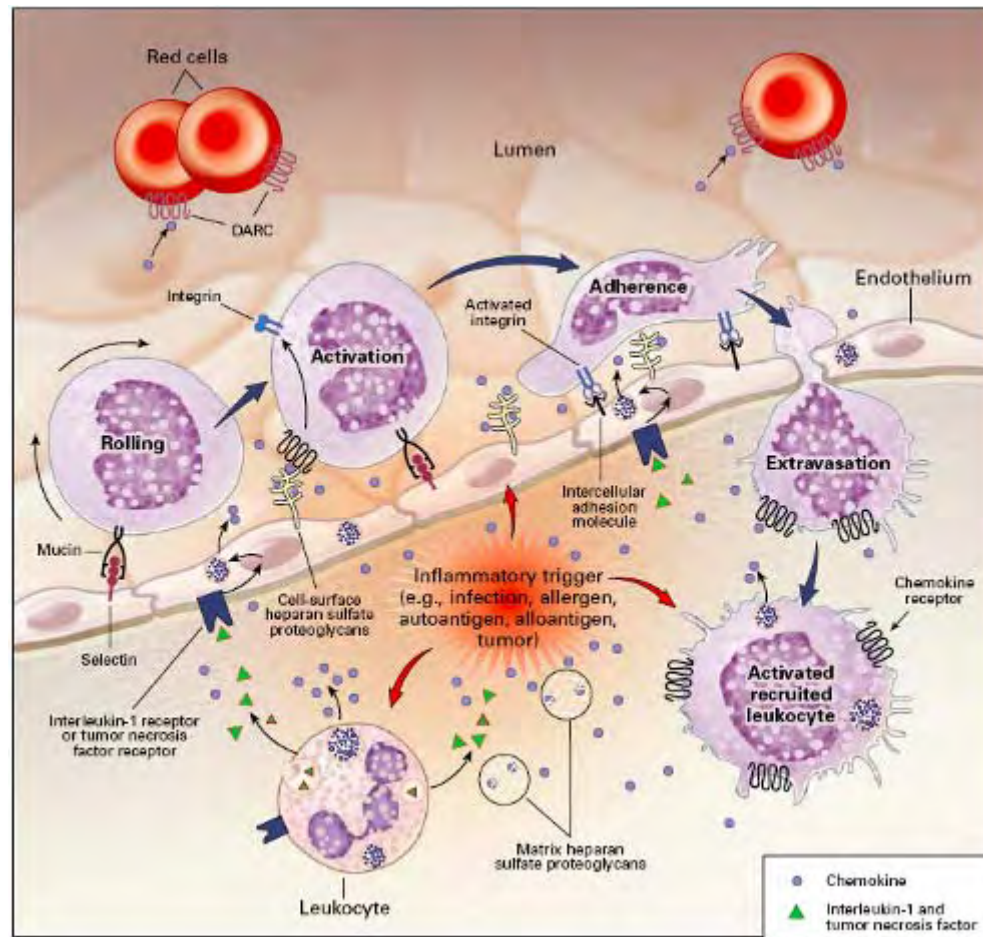
SDF-1 α \Leftrightarrow CXCR4



Chimiokines/Récepteurs

Chemokine	Receptor	Cell Type
MCP-3, -4; MIP-1 α ; RANTES MCP-3, -4; eotaxin-1, -2; RANTES	Chemokine receptor CCR1 CCR3	Eosinophil 
MCP-1, -2, -3, -4, -5 MCP-3, -4; eotaxin-1, -2; RANTES	CCR2 CCR3	Basophil 
MCP-3, -4; MIP-1 α ; RANTES MCP-1, -2, -3, -4, -5 MIP-1 α , MIP-1 β , RANTES I-309 MDC, HCC-1, TECK	CCR1 CCR2 CCR5 CCR8 ?	Monocyte 
Fractalkine	CX ₃ CR1	
SDF-1	CXCR4	
MCP-3, -4; MIP-1 α ; RANTES MCP-1, -2, -3, -4, -5 TARC MIP-1 α , MIP-1 β , RANTES MIP-3 β (ELC) PARC, SLC, 6CKine (Exodus-2)	CCR1 CCR2 CCR4 CCR5 CCR7 ?	Activated T cell 
Fractalkine	CX ₃ CR1	
IP-10, MIG, I-TAC	CXCR3	

Chimiokines: un rôle central dans la réponse immunitaire



Chimiokines: un rôle central dans la réponse immunitaire

Inflammatory Disease	Infiltrate	Chemokine
Acute respiratory distress syndrome	Neutrophil	Interleukin-8; GRO- α , - β , - γ ; ENA-78
Asthma	Eosinophil, T cell, monocyte, basophil	MCP-1, -4; MIP-1 α ; eotaxin; RANTES
Bacterial pneumonia	Neutrophil	Interleukin-8, ENA-78
Sarcoidosis	T cell, monocyte	IP-10

Chimiokines: un rôle central dans la réponse immunitaire

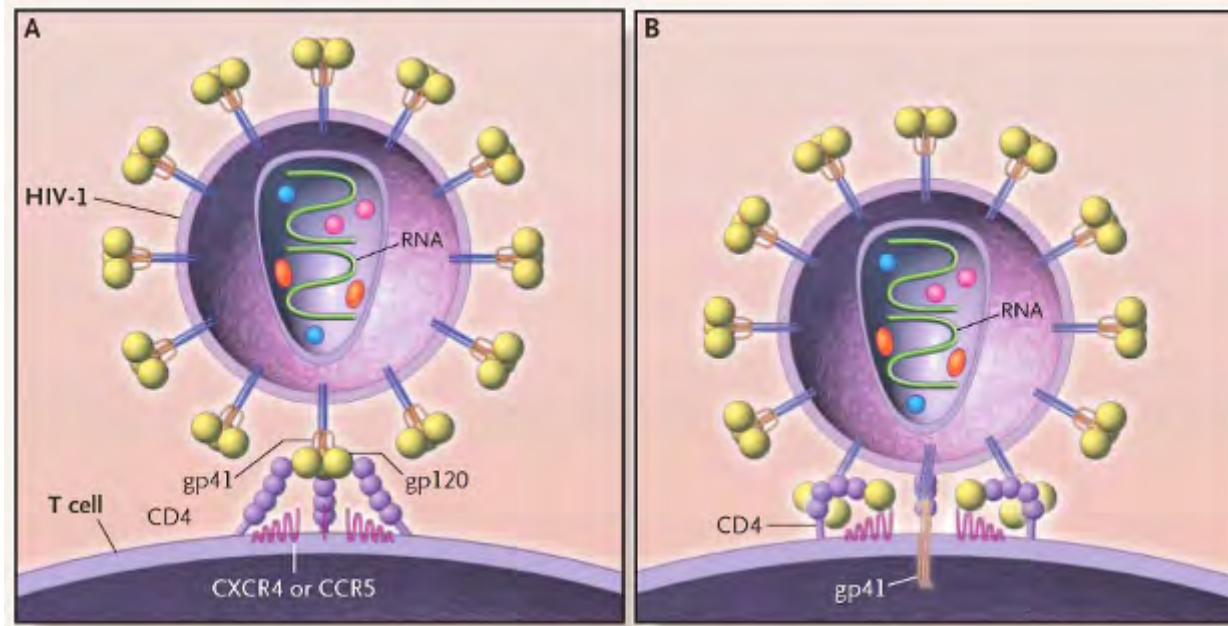
Inflammatory Disease	Infiltrate	Chemokine
Rheumatoid arthritis	Monocyte, neutrophil	MIP-1 α , MCP-1, interleukin-8, ENA-78
Osteoarthritis		MIP-1 β
Atherosclerosis	T cell, monocyte	MCP-1, -4; IP-10
Inflammatory bowel disease	Monocyte, neutrophil, T cell, eosinophil	MCP-1, MIP-1 α , eotaxin, IP-10, interleukin-8
Psoriasis	T cell, neutrophil	MCP-1, IP-10, MIG, GRO- β , interleukin-8

Chimiokines: cibles thérapeutiques

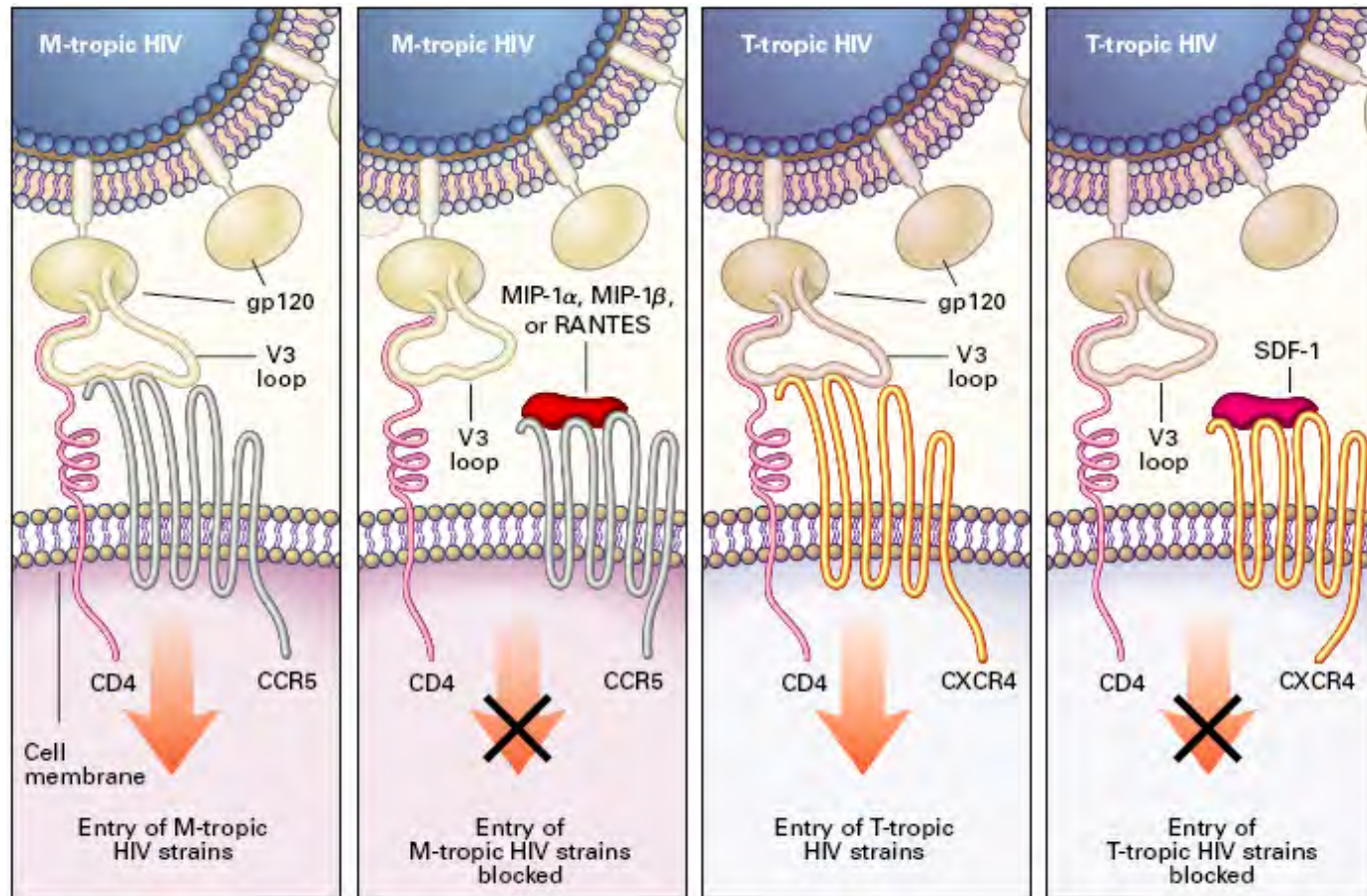
Table 3. Status of Chemokine-Receptor Antagonists in Development.*

Chemokine Receptor	Clinical Indication	Trial Status and Sponsor as of Winter 2005–2006
CCR1	Rheumatoid arthritis	Phase 2, Pfizer Phase 1, Millennium–Aventis
	Multiple sclerosis	Phase 2, Berlex
CCR2	Rheumatoid arthritis	Phase 2b, Millennium Phase 1, AstraZeneca Phase 1, Incyte
	Type 2 diabetes	Phase 1, Incyte
	Multiple sclerosis	Phase 2, Merck Phase 1, Millennium Phase 1, Incyte
CCR3	Allergic rhinitis and asthma	Phase 2, Cambridge Antibody Technology Phase 2, GlaxoSmithKline
CCR5	HIV	Phase 3, Pfizer Phase 2, Schering-Plough
CCR9	Inflammatory bowel disease	Phase 2, ChemoCentryx
CXCR1, CXCR2	Chronic obstructive pulmonary disease	Phase 1, GlaxoSmithKline
CXCR3	Psoriasis	Phase 2, Tularik–Amgen
CXCR4	Stem-cell mobilization	Phase 3, AnorMED

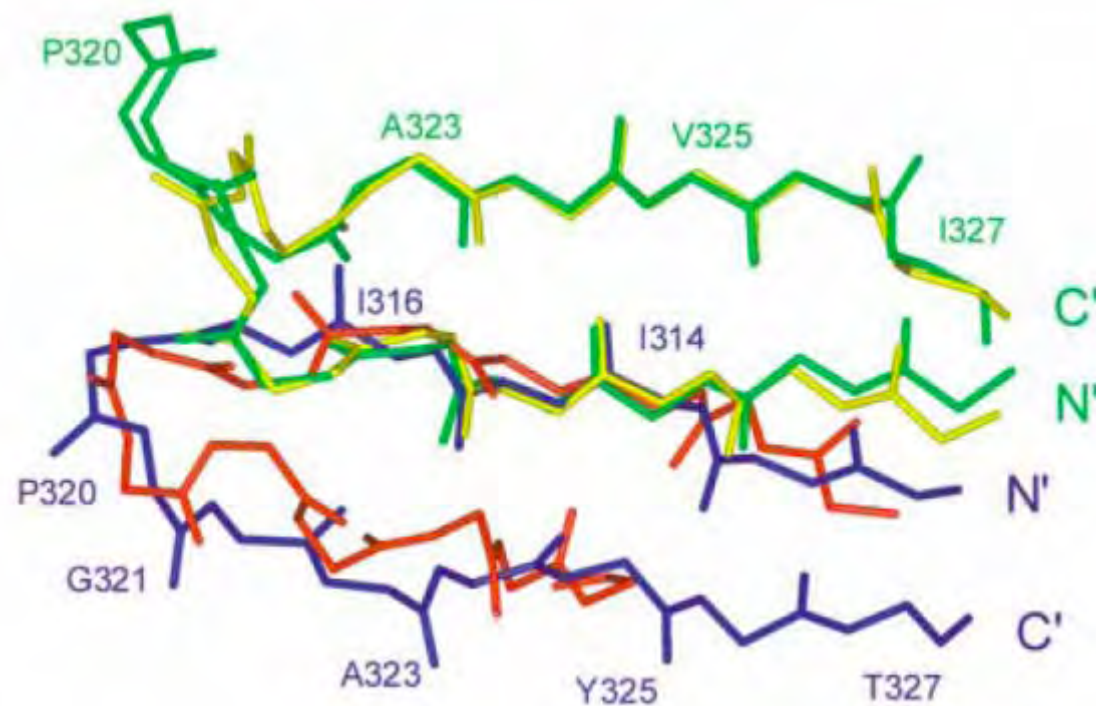
CCR5/CXCR4: corécepteurs d'entrée du HIV



CCR5/CXCR4: corécepteurs d'entrée du HIV



Homologie structurale chimiokine/boucle V3 gp120 HIV-1



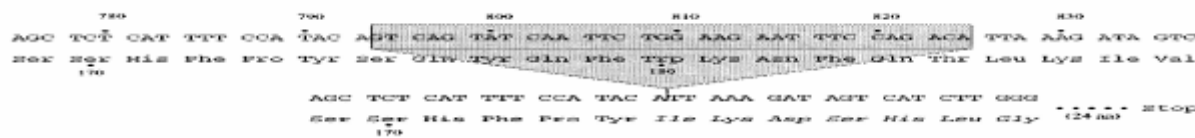
CCR5: cible thérapeutique

Cell, Vol. 86, 367–377, August 9, 1996, Copyright ©1996 by Cell Press

Homozygous Defect in HIV-1 Coreceptor Accounts for Resistance of Some Multiply-Exposed Individuals to HIV-1 Infection

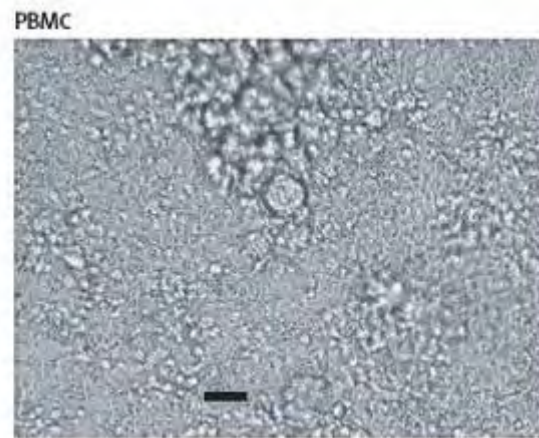
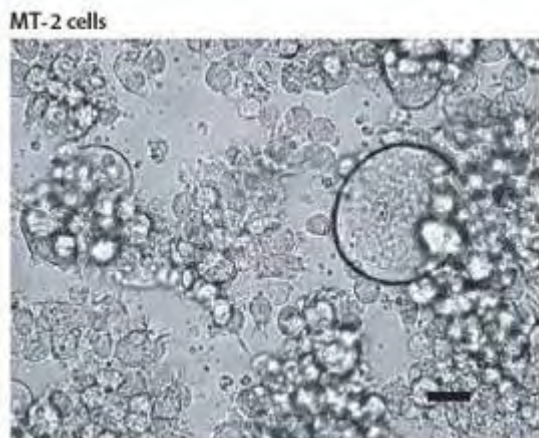
CCR5-WT

CCR5-Δ32



Caractérisation du tropisme R5 ou X4: méthodes et biais

Phénotype Syncytium Inducing/Non-Syncytium-Inducing



Phénotype T-tropic/M-tropic

A new classification for HIV-1

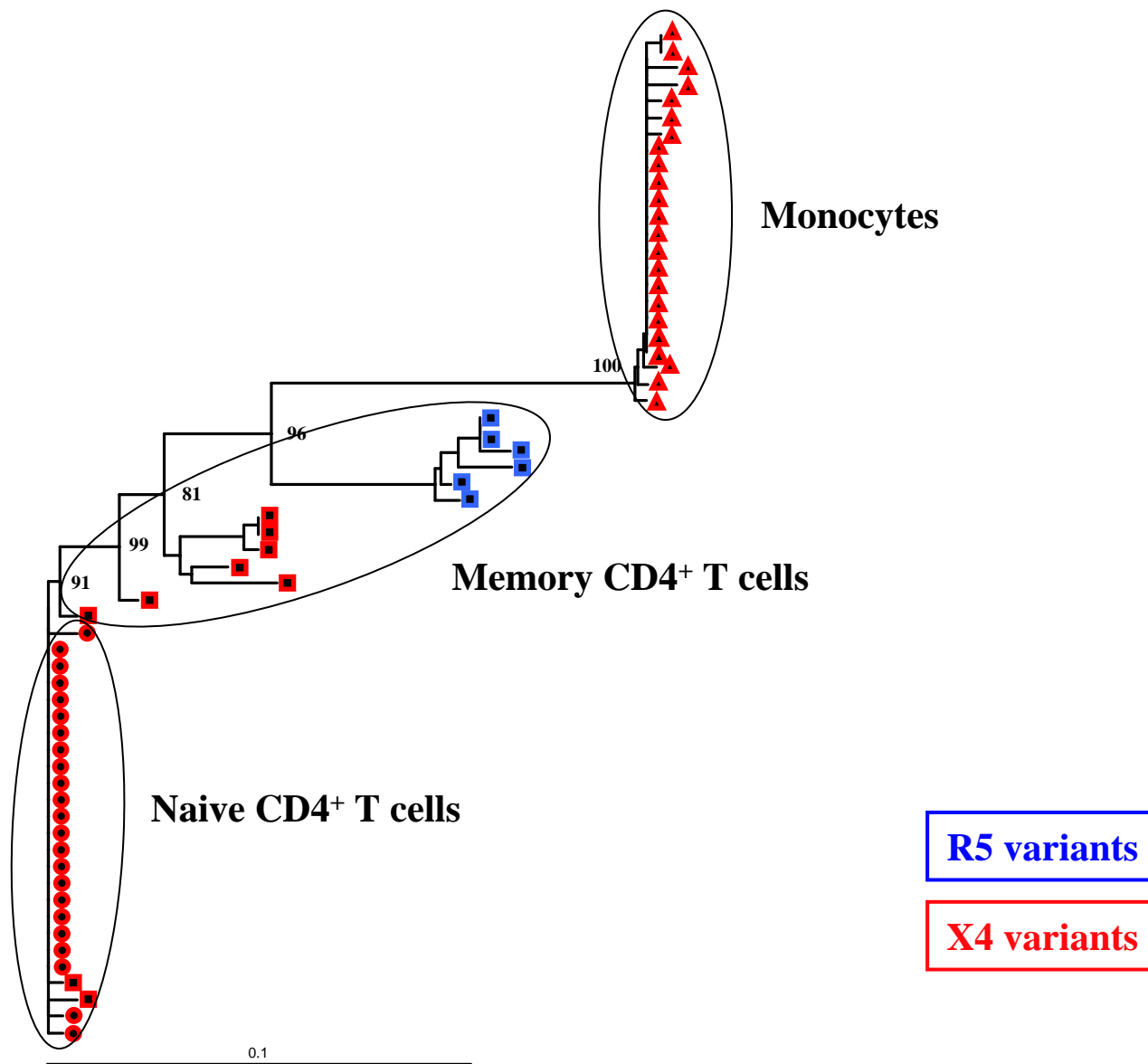
NATURE | VOL 391 | 15 JANUARY 1998

	Coreceptor used [2]		Syncytium induction [3]	
	CCR5	CXCR4	NSI	SI
R5	+	-	+	-
R5X4	+	+	-	+
X4	-	+	-	+

Dynamique d'évolution des populations virales

Consensus	T P L C V T L E	C T D T D T N I T R N S T N N N A T G S G G I I M E K G E I K N C S F N I T T S L R D K V Q K E Y A L F Y K L D V V P I D N N N N N I N K T N T N Y T N Y R L I S C				
CHS9	.	A .	R . T .			
CHS12	.	.	S .			
CHS7	.	.	T . T . N .			
CHS11	.	.	T . N N .			
CHS16	.	.	V .			
CHS8	.	.	T . N N .			
CHS1	.	A .	V .			
CHS3	.	I . S . T . D T .	R .			
CHS5	.	S . D .	Y .			
CHS2	.	N . T . D T .	I .			
CHS13	.	V W K K .	R .			
CHS4	.	I . S . T . D T .	R .			
CHS6	.	S . T . D T .	A .			
CHS15	.	I . S . T . D T .	R .			
Consensus	N T S T I T Q A C P K V S F E P I P I H Y C T P A G F A L L K C K D K K F N G T G P C K N V S T V Q C T H G I R P V I S T Q L L L N G S L A E E V V I R S S N F T D N A K T I I V					
CHS9	I . A .	Q .	P .			
CHS12	.	.	N .			
CHS7	.	.	.			
CHS11	.	.	.			
CHS16	.	.	.			
CHS8	.	.	.			
CHS1	.	S .	.			
CHS3	.	S .	.			
CHS5	.	S .	.			
CHS2	.	S .	.			
CHS13	.	S .	.			
CHS4	.	S .	.			
CHS6	.	S .	.			
CHS15	.	S .	S .			
Consensus	Q L N E S V V I N	C T R P N N N T R K K S I H I G P G R A F Y T T G Q I I G D I R Q A H C N L L S R E A W N N T L K K I V	11/25	net charge	genotype	phenotype
CHS9	.	G .	G/Q	+4	R5	R5
CHS12	.	S .	S/Q	+4	R5	R5
CHS7	.	S .	S/Q	+3	R5	R5
CHS11	I I	S .	S/Q	+3	R5	R5
CHS16	I I	S .	S/Q	+3	R5	R5
CHS8	I I	S .	S/Q	+3	R5	R5
CHS1	I I	S .	S/Q	+3	R5	R5
CHS3	.	S .	S/Q	+3	R5	R5
CHS5	S . T I K R R R .	L .	Q .	R/Q	+6	X4
CHS2	S . T I K R R R .	L .	R Q .	R/Q	+6	X4
CHS13	S I K R R R .	M .	Q .	R/Q	+6	X4
CHS4	S I K R R R .	R . L . . . M .	Q .	R/Q	+7	X4
CHS6	S I K R R R .	R . L . . .	Q .	R/Q	+7	X4
CHS15	S I K R R R .	R . L . . .	Q .	R/Q	+7	R5X4

Dynamique d'évolution des populations virales



Caractérisation du tropisme viral R5 ou X4

Génotypage R5/X4 par séquençage
de la région V3 *env* du VIH-1

Génotypage R5/X4 par séquençage de la région V3 env

Algorythmes génotypiques

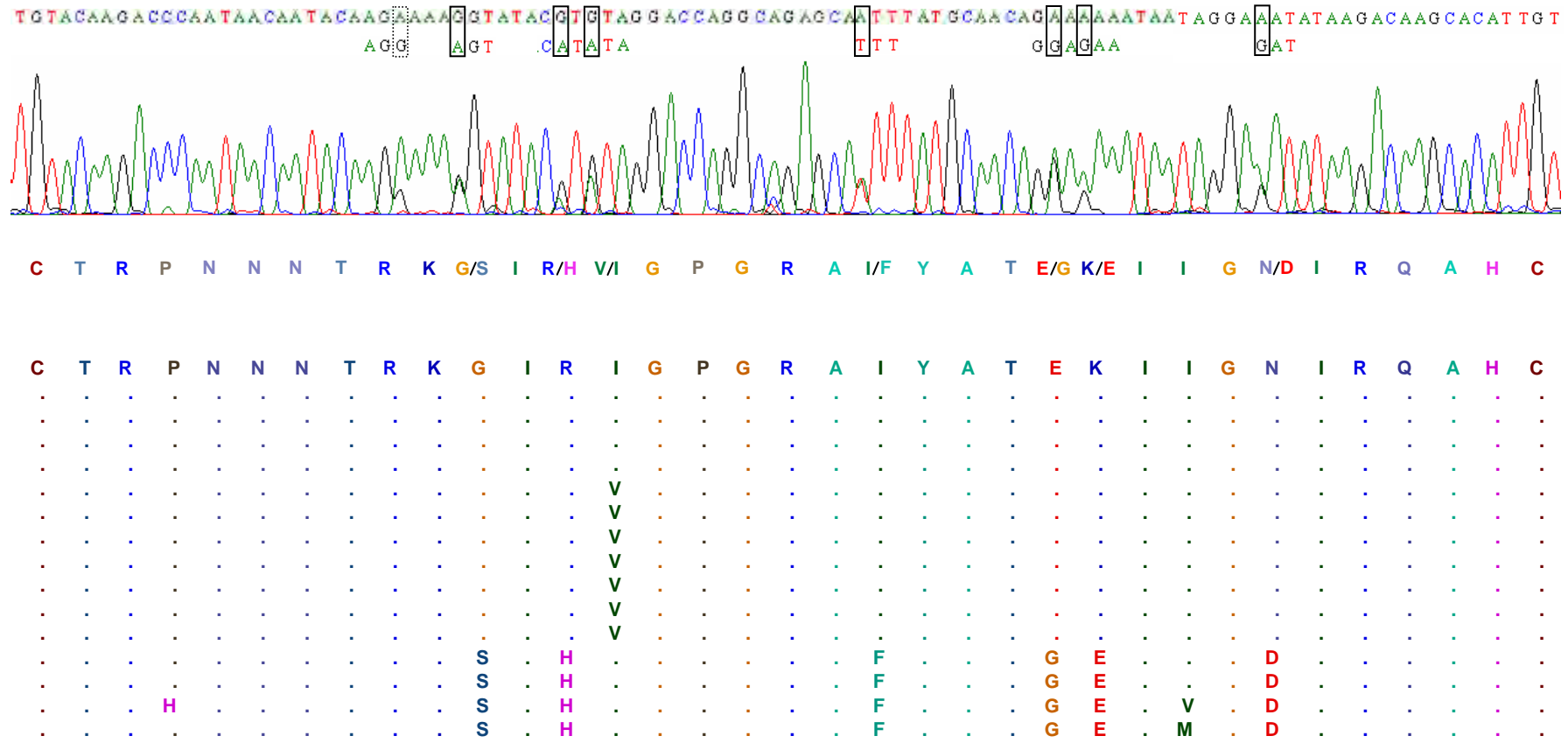
- présence d'un acide aminé chargé positivement (**R ou K**) en **position 11 et/ou 25** de la région V3
- charge nette de la boucle V3 $[(R+K)-(D+E)] \geq +5$
- mutation du site de N-glycosylation [NXS/T]



Génotypage R5/X4 par analyse clonale de la région V3 env

Consensus	T P L C V T L E C T D T D T N I T R N S T N N N A T G S G G I I M E K G E I K N C S F N I T T S L R D K V Q K E Y A L F Y K L D V V P I D N N N N N I N K T N T N Y T N Y R L I S C						
CHS9
CHS12
CHS7
CHS11
CHS16
CHS8
CHS1	A.	.	.	.	R.	T.	.
CHS3
CHS5
CHS2
CHS13
CHS4
CHS6
CHS15
Consensus	N T S T I T Q A C P K V S F E P I P I H Y C T P A G F A L L K C K D K K F N G T G P C K N V S T V Q C T H G I R P V I S T Q L L L N G S L A E E E V I R S S N F T D N A K T I I V						
CHS9
CHS12	.	I.	A.
CHS7
CHS11
CHS16
CHS8
CHS1	S.	S.	.
CHS3	S.	S.	.
CHS5	S.	S.	V.
CHS2	S.	S.	V.
CHS13	S.	S.	V.
CHS4	S.	S.	S.
CHS6	S.	S.	S.
CHS15	S.	S.	S.
Consensus	Q L N E S V V I N C T R P N N N T R K K S I H I G P G R A F Y T T G Q I I G D I R Q A H C N L S R E A W N N T L K K I V	11/25	net charge	genotype	phenotype		
CHS9	.	G/Q	+4	R5	R5		
CHS12	.	S/Q	+4	R5	R5		
CHS7	.	S/Q	+3	R5	R5		
CHS11	.	S/Q	+3	R5	R5		
CHS16	.	S/Q	+3	R5	R5		
CHS8	.	S/Q	+3	R5	R5		
CHS1	.	S/Q	+3	R5	R5		
CHS3	.	S/Q	+3	R5	R5		
CHS5	.	S.T.I.K.R.R.	-	R5	R5		
CHS2	.	S.T.I.K.R.R.	-	R5	R5		
CHS13	.	S.I.K.R.R.	-	R5	R5	X4	X4
CHS4	.	S.I.K.R.R.	-	R5	R5	X4	X4
CHS6	.	S.I.K.R.R.	-	R5	R5	R5X4	R5X4
CHS15	.	S.I.K.R.R.	-	R5	R5	X4	X4

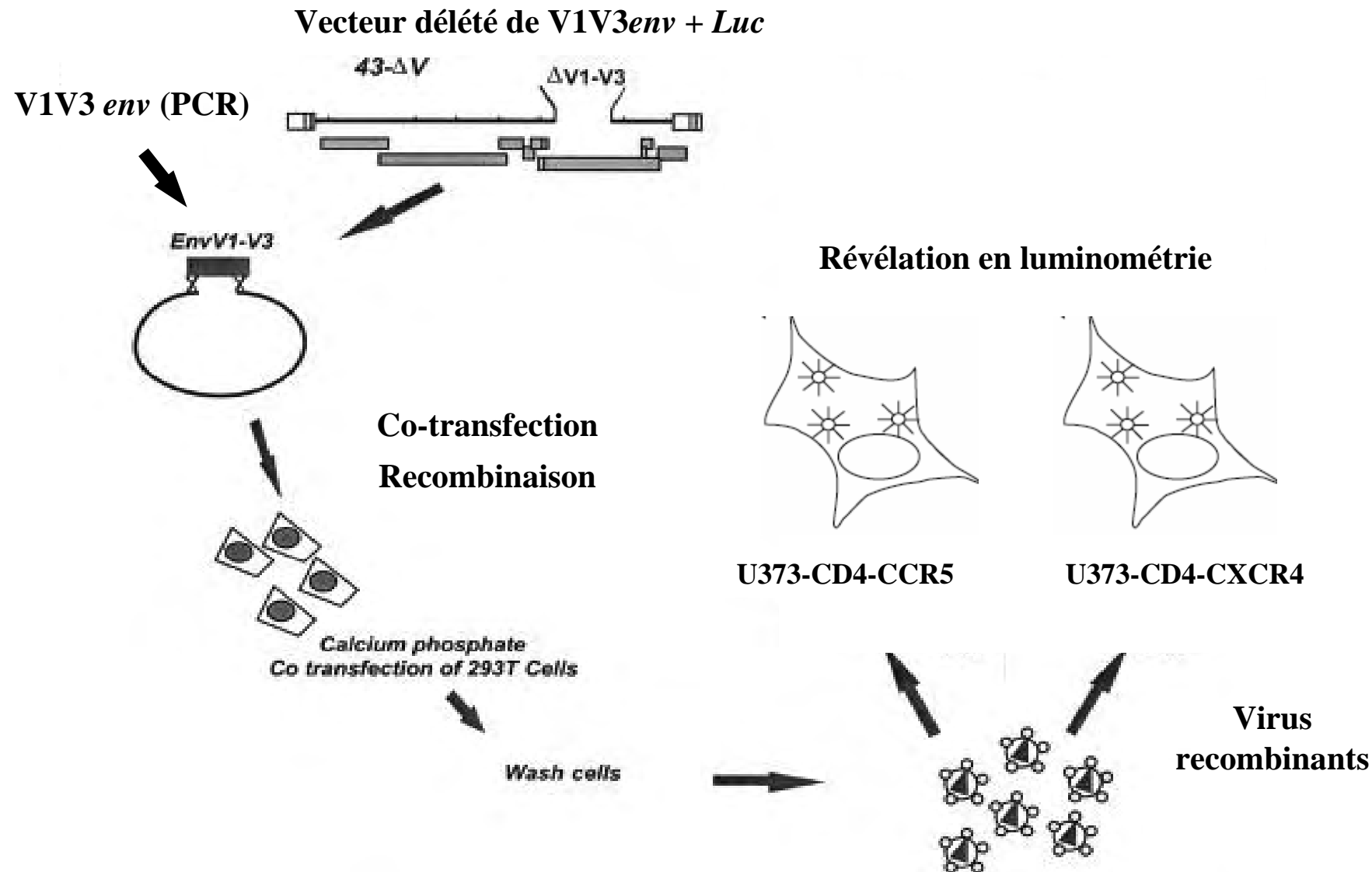
Génotypage R5/X4 par séquençage direct de la région V3 env



Caractérisation du tropisme viral R5 ou X4

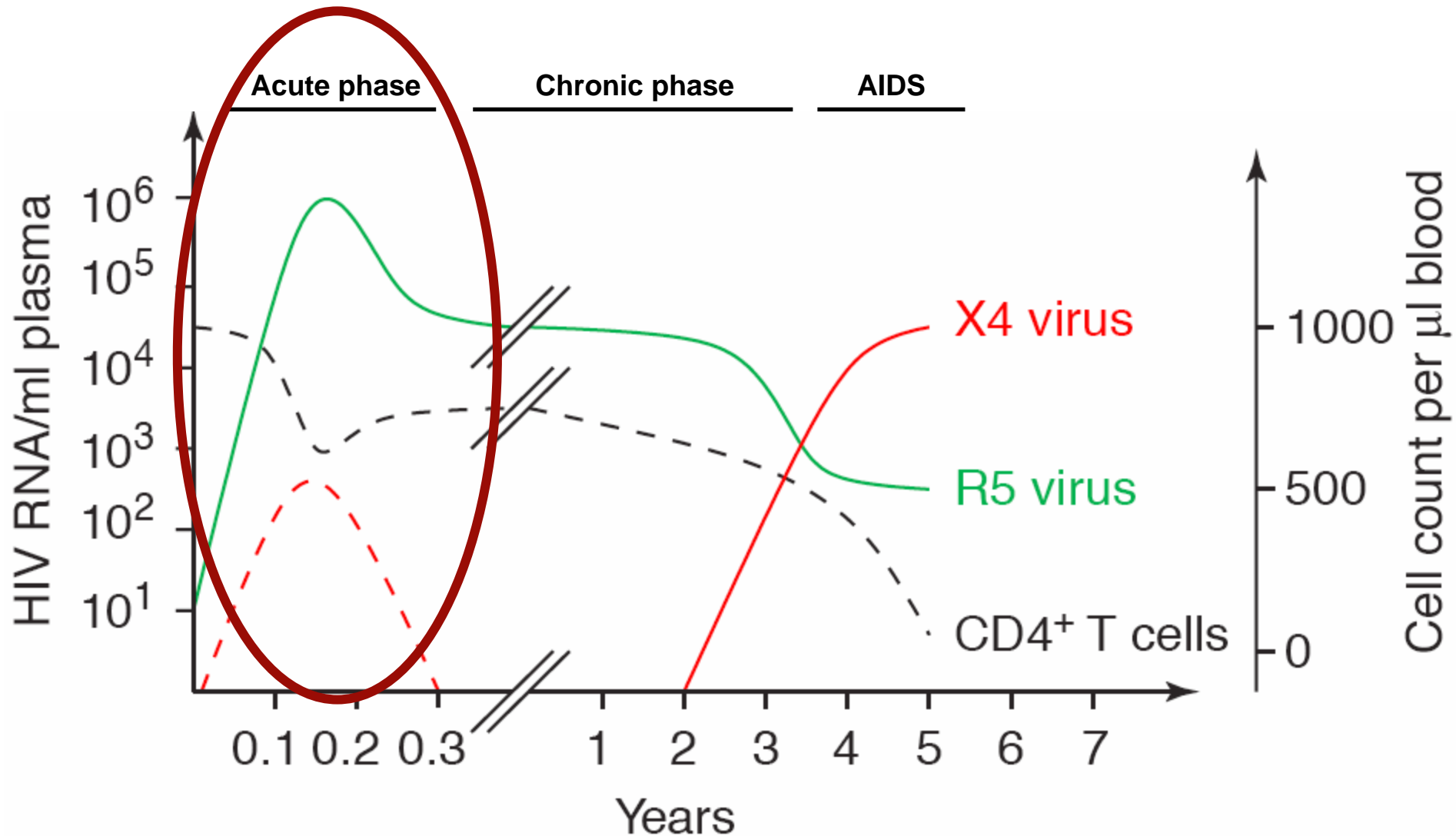
Phénotypage R5/X4 par
Recombinant Virus Assay

Phénotypage R5/X4 par création de virus recombinants



Evolution du tropisme viral au cours de
l'histoire naturelle de l'infection à VIH:
le switch R5/X4

Evolution du tropisme viral au cours de l'infection à VIH

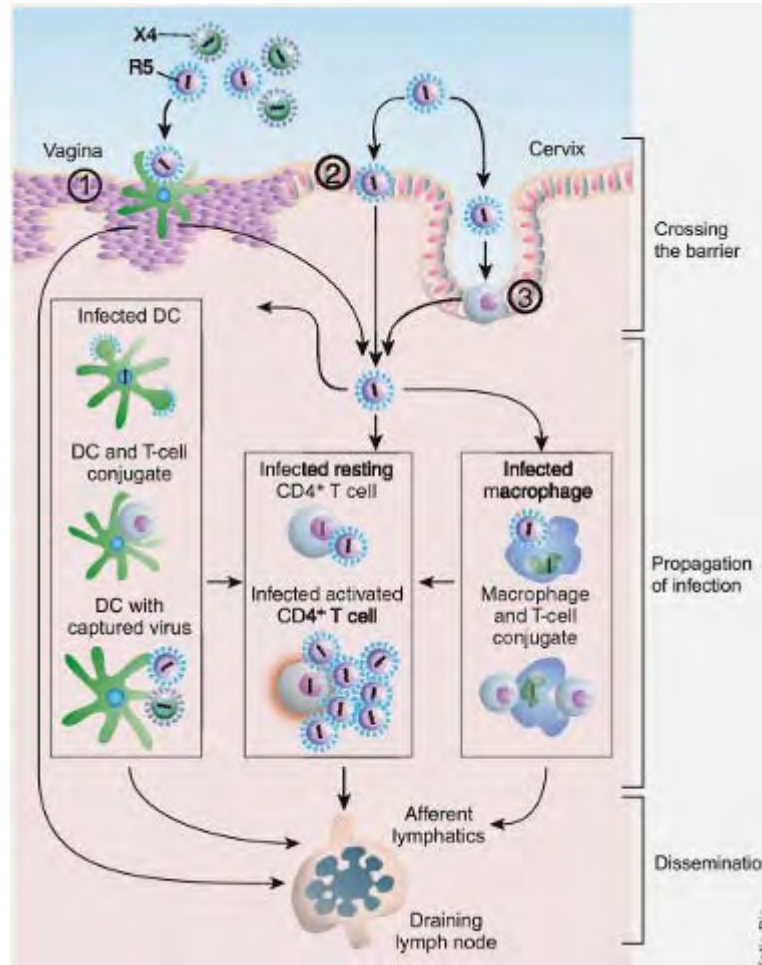


Prédominance des variants R5 en primo-infection

- **compartimentation des virus R5 dans l'appareil génital?**
- **pénétration muqueuse préférentielle des virus R5?**
 - CCR5 sur cellules épithéliales
 - taux élevés de SDF1: compétition/CXCR4
 - cellules cibles intra-muqueuses: DC, Langerhans
- **avantage sélectif pour les virus R5 post-entrée:**
 - réponse immunitaire/virus X4?
 - réPLICATION préférentielle des virus R5: cellules cibles

Résistance à l'infection si mutation CCR5 Δ32 homozygote

Prédominance des variants R5 en primo-infection



Prédominance des variants R5 en primo-infection

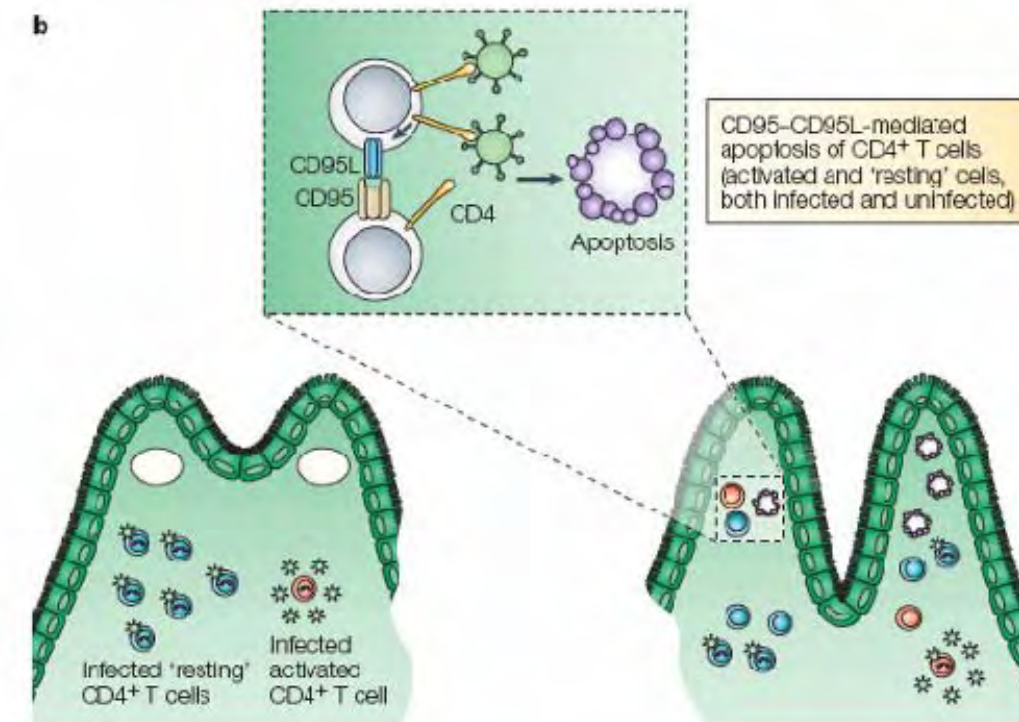
mais établissement de l'infection par des virus R5:

- également si contamination verticale ou par injection
- avantage des R5 en cas de transmission d'une population virale mixte R5 et X4

prédominance R5 apparente (X4 minoritaire?)

réplication préférentielle des virus R5:
population cible initiale = GALT

Pathogénicité des variants R5 en primo-infection: GALT



- Cible principale de la réPLICATION du VIH
- Atteinte très précoce au cours de la primo-infection
- Déplétion majeure rapide et prolongée

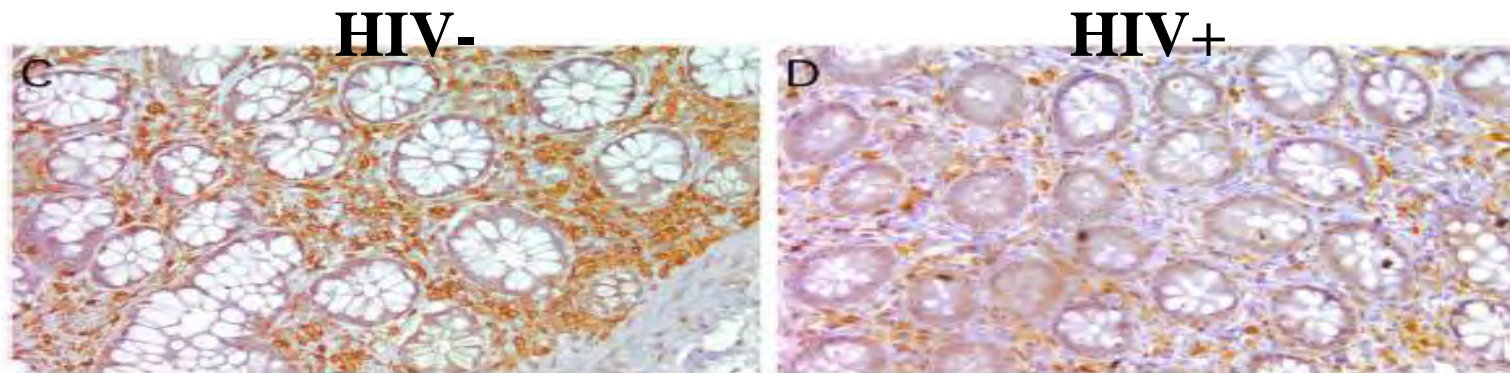
Pathogénicité des variants R5 en primo-infection

articles

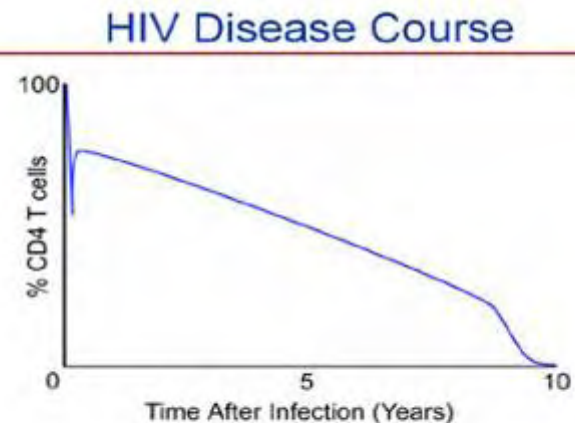
Massive infection and loss of memory CD4⁺ T cells in multiple tissues during acute SIV infection

Joseph J. Mattapallil¹, Daniel C. Douek², Brenna Hill², Yoshiaki Nishimura³, Malcolm Martin³ & Mario Roederer¹

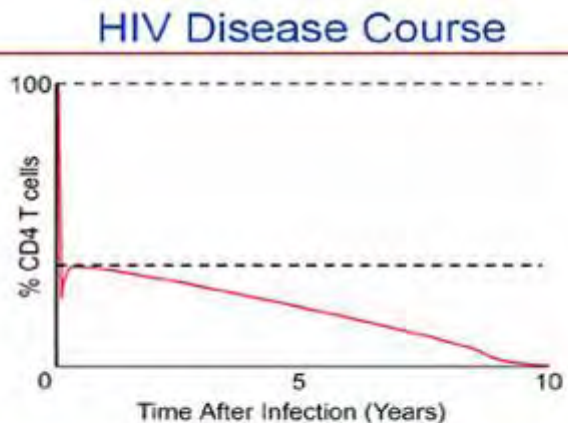
NATURE | VOL 434 | 28 APRIL 2005 | www.nature.com/nature



Déplétion des T-CD4⁺ au cours de la primo-infection



- Blood CD4 T cell counts

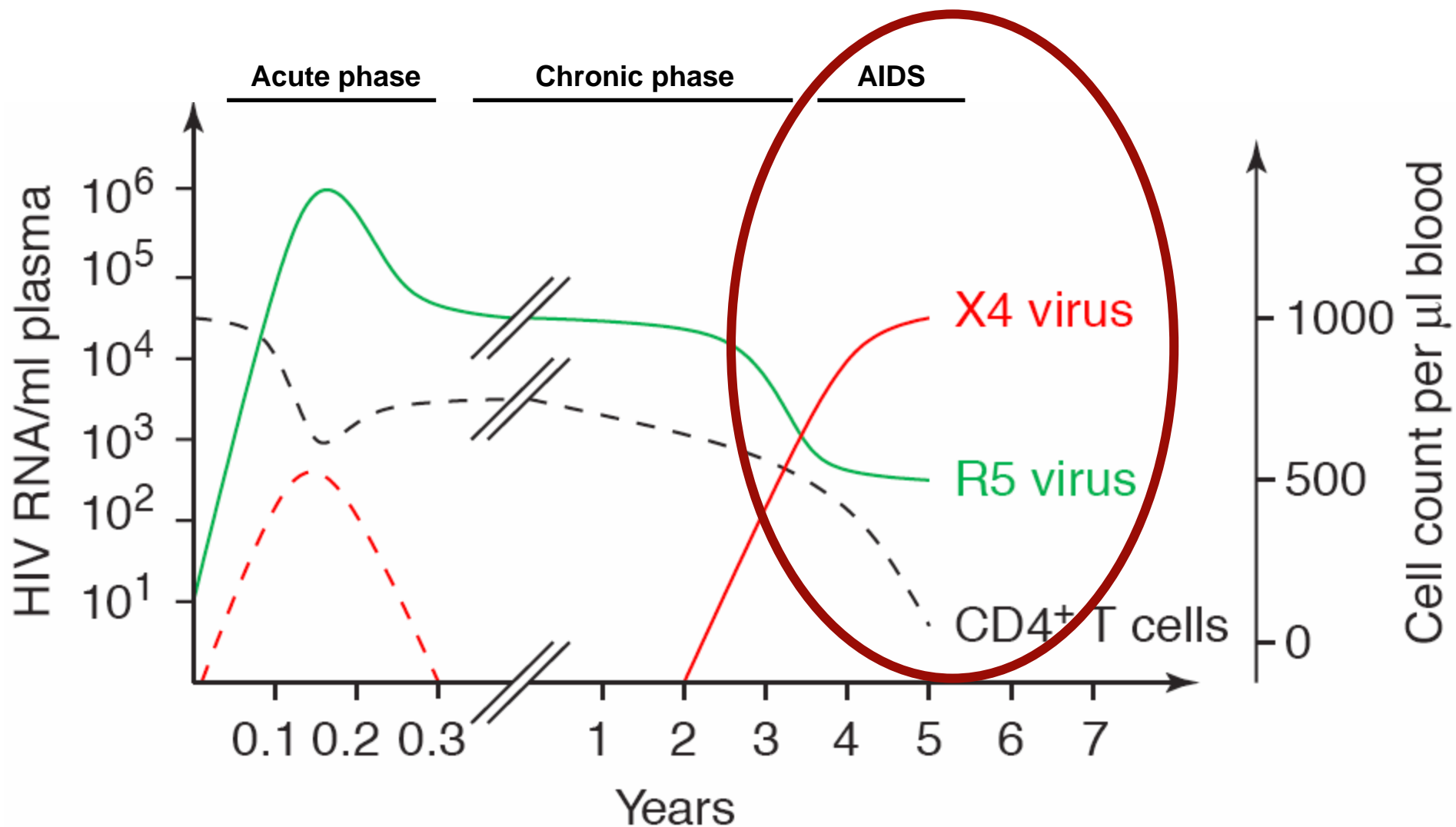


- Total CD4 T cell counts: Massive CD4 T cell depletion occurs rapidly in acute infection

Protection of macaques from vaginal SHIV challenge by an orally delivered CCR5 inhibitor

Ronald S Veazey^{1,4}, Martin S Springer^{2,4}, Preston A Marx¹,
Jason Dufour¹, Per Johan Klasse³ & John P Moore³

Evolution du tropisme viral au cours de l'infection à VIH



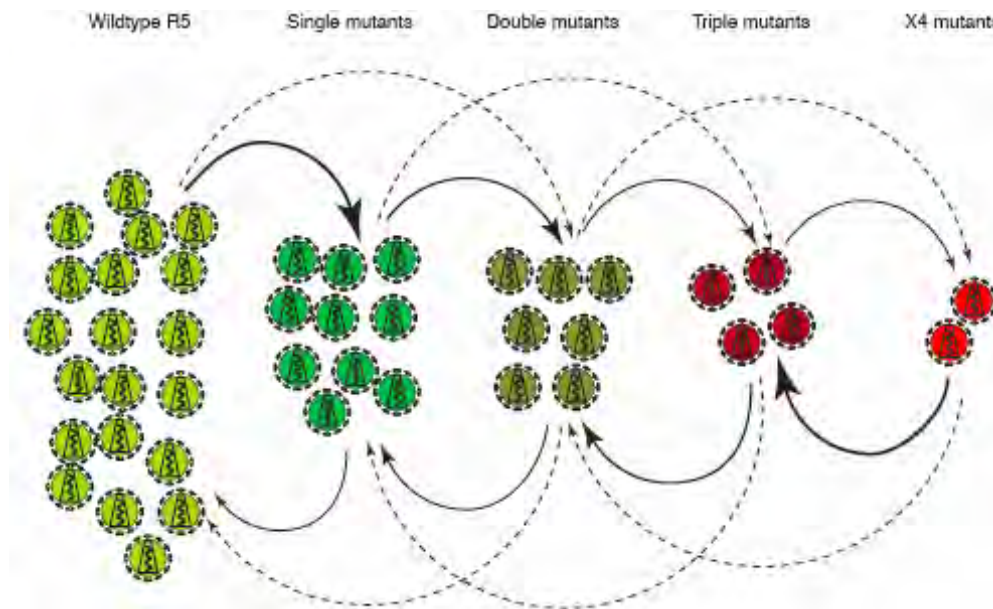
Mécanismes du switch R5→X4?

- accumulation progressive de mutations dans *env* ?
- contrôle préférentiel des virus X4 par la réponse immunitaire?
- tropisme préférentiel des virus X4 pour les thymocytes et les lymphocytes T-CD4⁺ naïfs?

Mécanismes du switch R5→X4?

Accumulation progressive de mutations dans *env* ?

- quelques mutations suffisent pour induire un switch R5 → X4 (région V3 *env*)
- l'émergence de virus X4 devrait donc être rapide ...ce qui n'est pas le cas



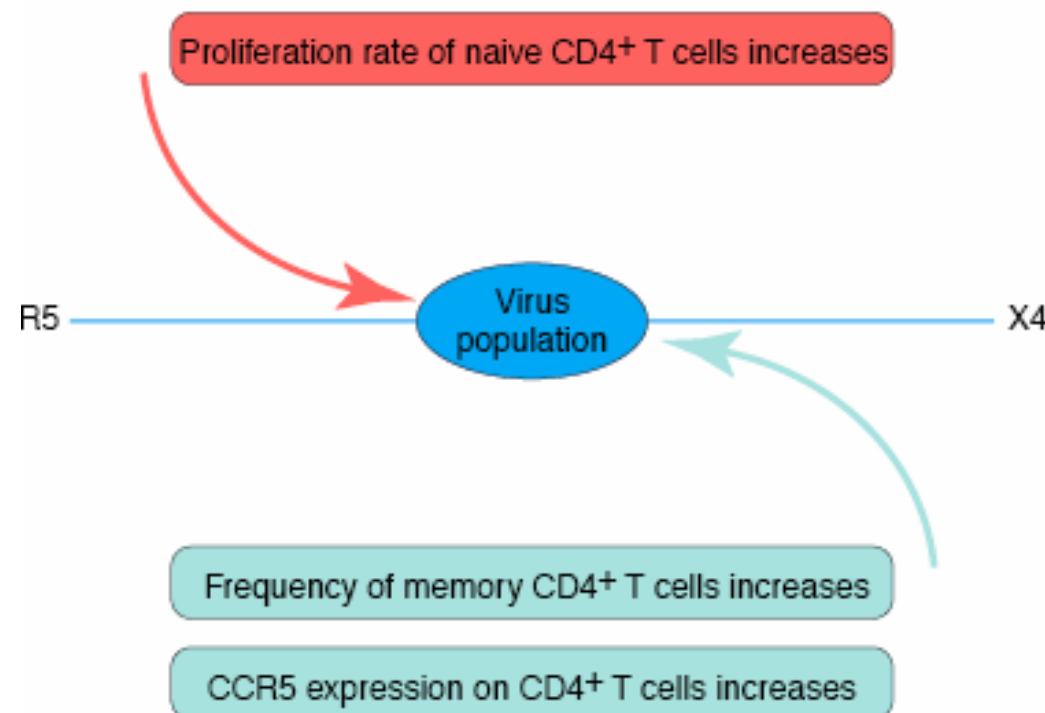
Capacité réplicative diminuée des virus intermédiaires?

Mécanismes du switch R5→X4?

- accumulation progressive de mutations dans *env* ?
- contrôle préférentiel des virus X4 par la réponse immunitaire?
- **tropisme préférentiel des virus X4 pour les thymocytes et les lymphocytes T-CD4⁺ naïfs?**

Mécanismes du switch R5→X4?

Tropisme préférentiel pour les lymphocytes T-CD4⁺ naïfs?



Evolution du tropisme viral sous traitement antirétroviral: sélection des virus X4

Emergence de variants X4 sous traitement antirétroviral suppressif

BASIC SCIENCE

R5 to X4 Switch of the Predominant HIV-1 Population in Cellular Reservoirs During Effective Highly Active Antiretroviral Therapy

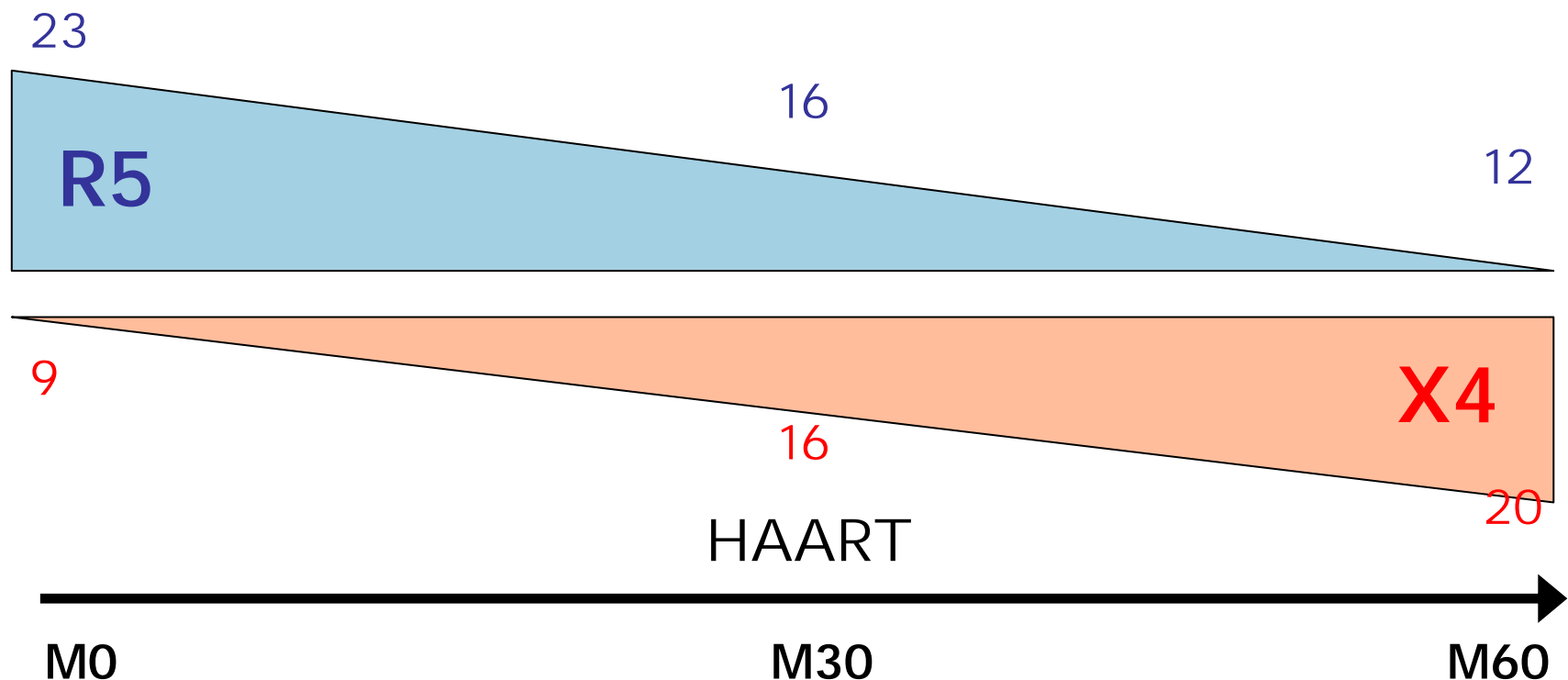
Pierre Delobel,^{*†} Karine Sandres-Sauné, PhD,^{*} Michelle Cazabat,^{*} Christophe Pasquier, MD, PhD,^{*} Bruno Marchou, MD,[†] Patrice Massip, MD,[†] and Jacques Izopet, PhD^{*}

J Acquir Immune Defic Syndr 2005;38:382–392

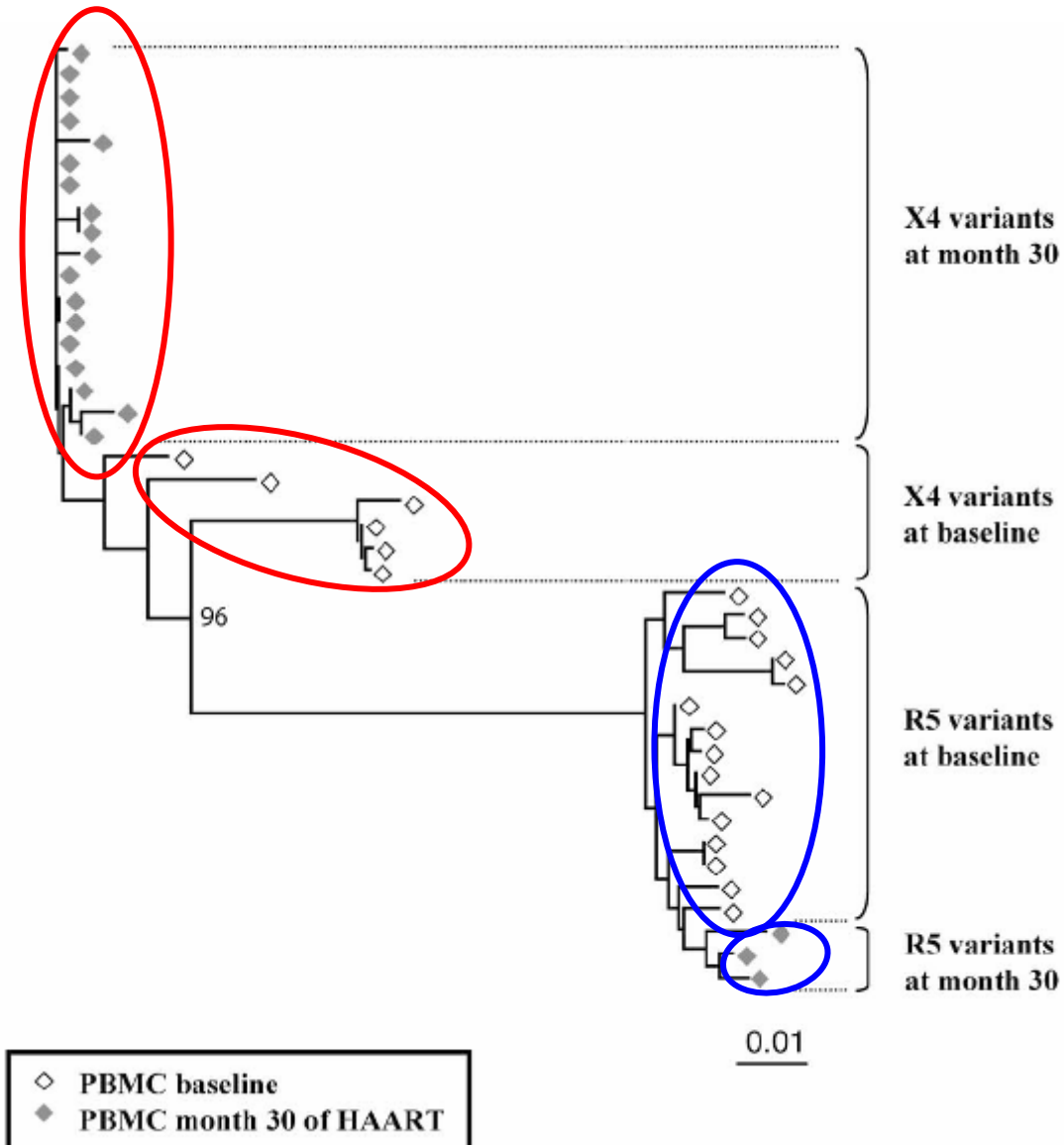
Emergence de variants X4 sous HAART

⇒ Etude longitudinale chez 32 patients avec une charge virale indétectable

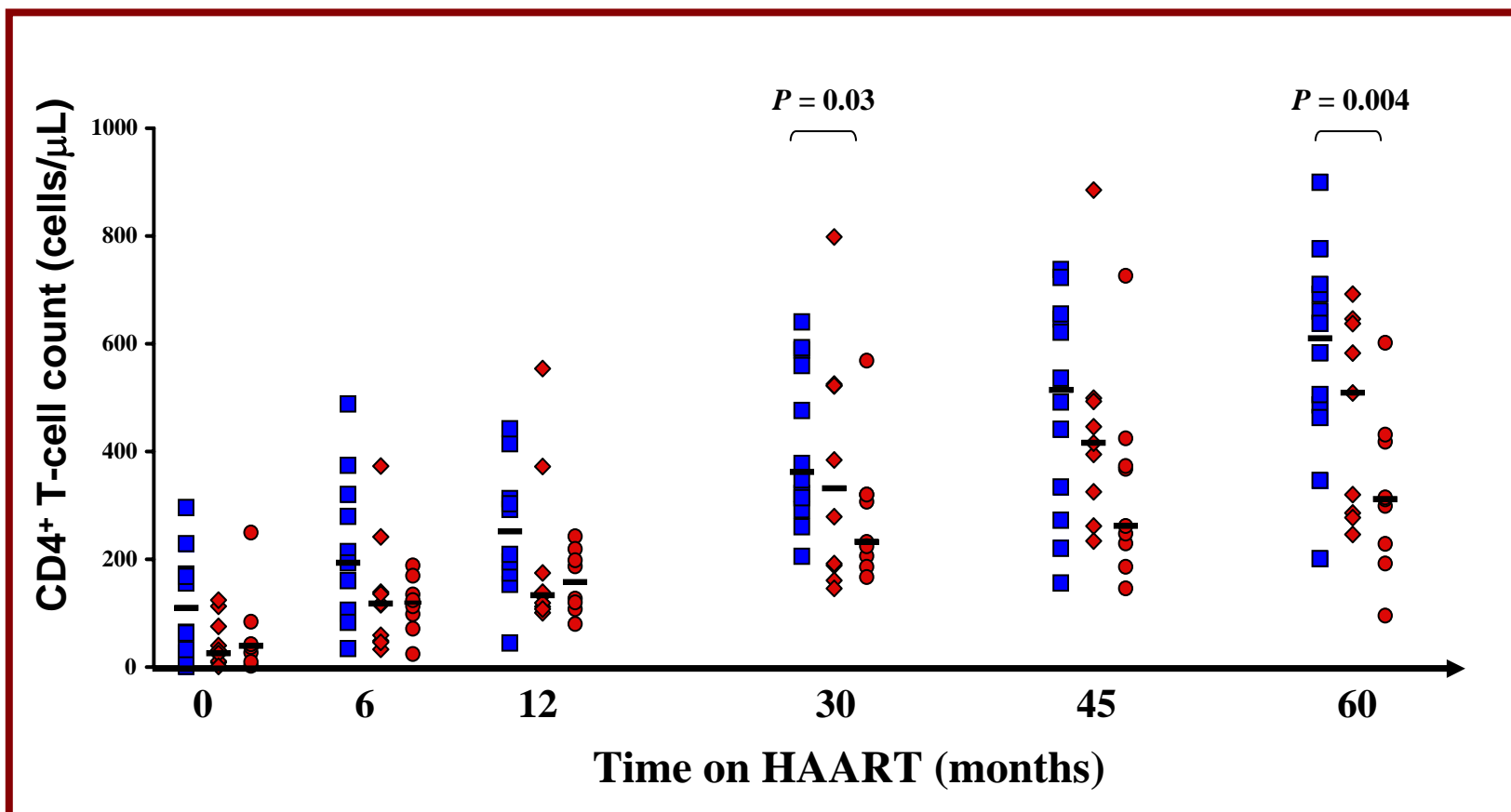
Génotypage V3 env dans les PBMC



Emergence de variants X4 sous HAART



Impact sur la restauration des T-CD4⁺ ?



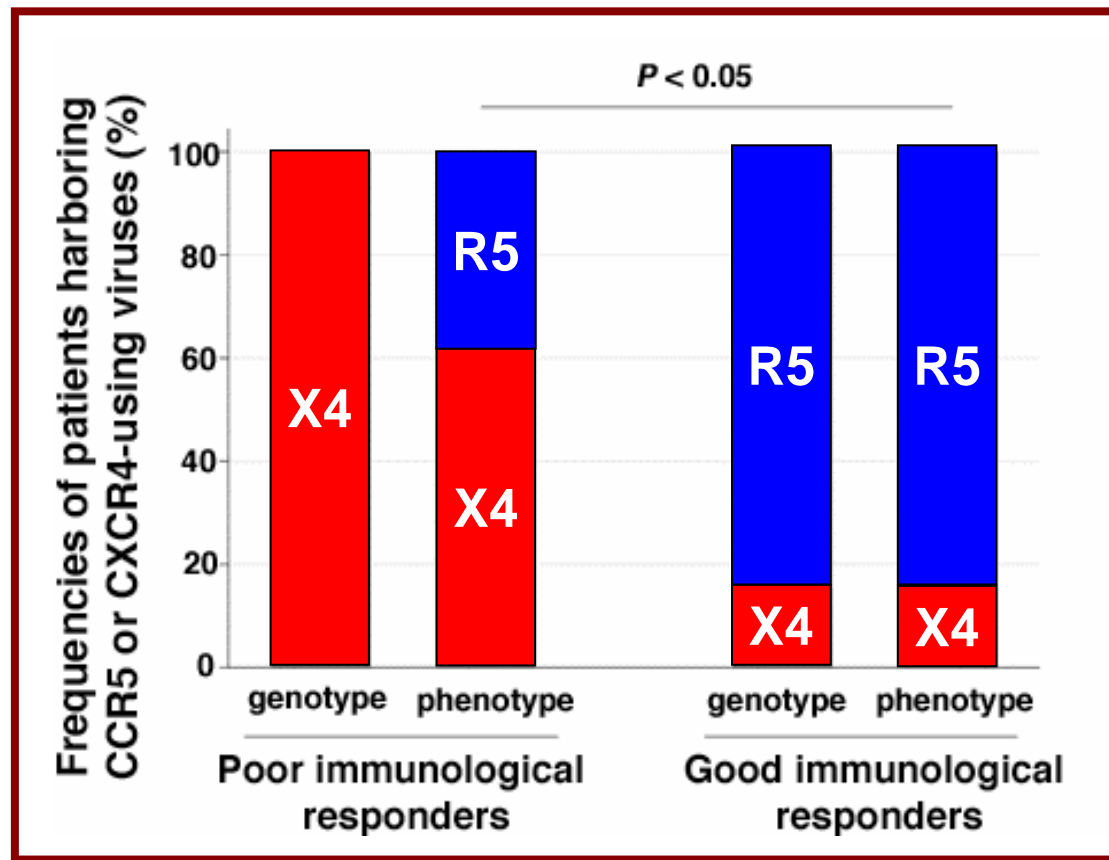
Etude ANRS EP32 «THYM'X4»

- 5 à 15% des patients en succès virologique ont des CD4 <200/mm³
- Défaut de régénération ou destruction périphérique excessive?

Rôle des virus X4? Hypothèse d'une atteinte thymique?

- ⇒ 15 patients en succès immuno-virologique
- ⇒ 15 patients avec une discordance immuno-virologique

Fréquence élevée de virus X4 chez les mauvais répondeurs immunologiques



**Impact des virus X4 sur l'homéostasie lymphocytaire T sous HAART:
*hyperactivation persistante et apoptose***

Emergence de variants X4 sous traitement antirétroviral **non suppressif**

CXCR4-tropic Viruses Are Common among Antiretroviral-treated Patients with Detectable Viremia and Associated with Lower Treatment-mediated CD4 Gains

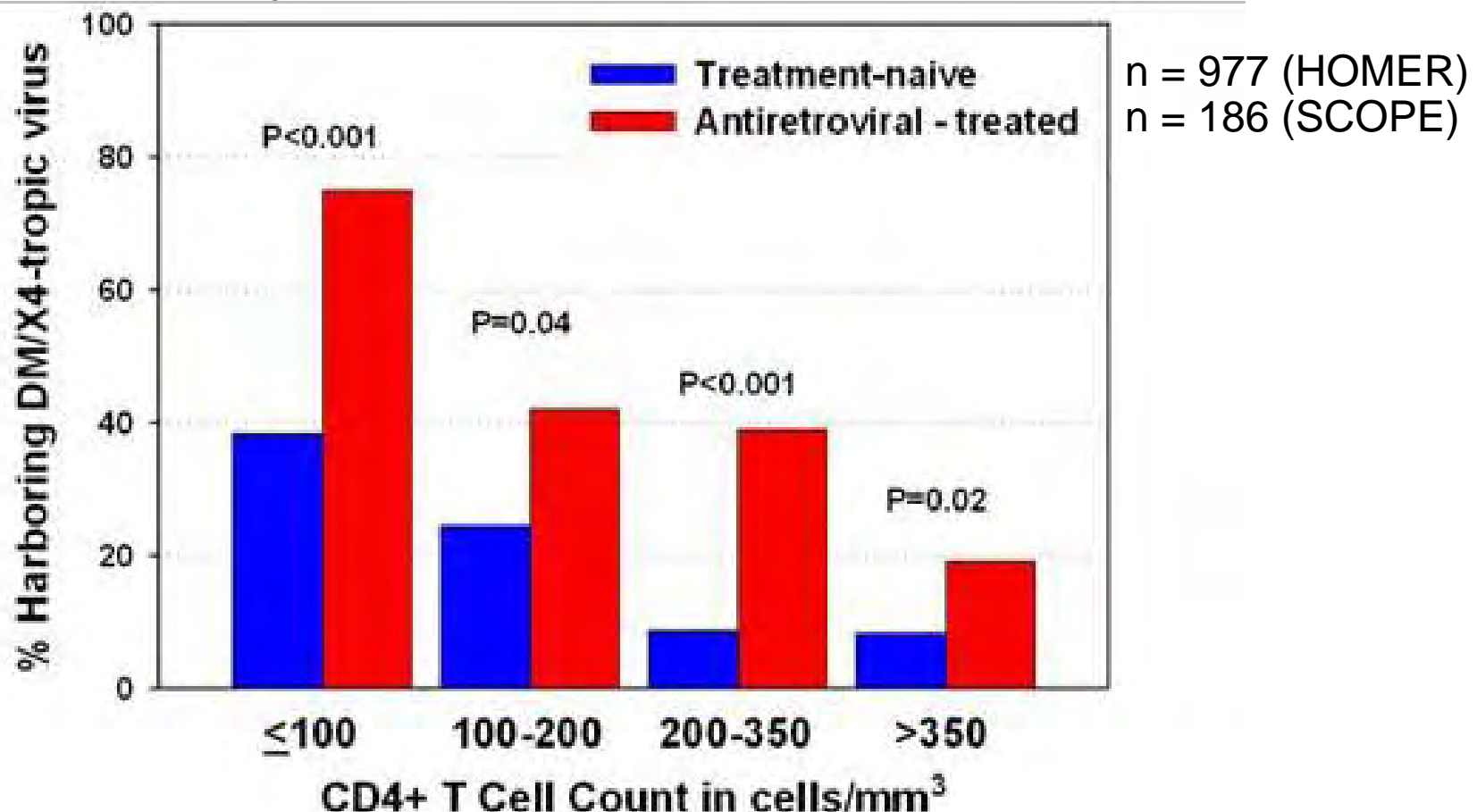
Peter Hunt, MD

UCSF Positive Health Program
San Francisco General Hospital

13th CROI 2006 abstract #43

Emergence de variants X4 sous traitement antirétroviral **non** suppressif

Prevalence of DM/X4 tropism
by treatment status and CD4 count



13th CROI 2006 abstract #43

Impact des virus X4 sur la restauration des T-CD4⁺

DM/X4 Tropism is Independently Associated with Reduced Treatment-mediated CD4 Gains

Multivariable Analysis (N=186)

Characteristic	Adjusted Change in ΔCD4 count (cells/mm ³) (95% CI)	P Value
DM / X4-tropism	-78 (-126 to -30)	0.002
Plasma HIV RNA level per log ₁₀ increase	-61 (-88 to -34)	<0.001

Sélection de variants X4 sous traitement anti-CCR5

JOURNAL OF VIROLOGY, May 2006, p. 4909–4920
0022-538X/06/\$08.00+0 doi:10.1128/JVI.80.10.4909–4920.2006
Copyright © 2006, American Society for Microbiology. All Rights Reserved.

Vol. 80, No. 10

Emergence of CXCR4-Using Human Immunodeficiency Virus Type 1 (HIV-1) Variants in a Minority of HIV-1-Infected Patients following Treatment with the CCR5 Antagonist Maraviroc Is from a Pretreatment CXCR4-Using Virus Reservoir

Mike Westby,^{1,*} Marilyn Lewis,¹ Jeannette Whitcomb,² Mike Youle,³ Anton L. Pozniak,⁴ Ian T. James,¹ Tim M. Jenkins,¹ Manos Perros,¹ and Elna van der Ryst¹

Perspectives thérapeutiques

➤ Place des anti-CCR5 en prophylaxie post-exposition?

➤ Place des anti-CCR5 au cours de la primo-infection?

➤ Place des anti-CCR5 au cours de la phase chronique??